

**Hazard Management of Inundation and Pollutants in Urban Floods Using Optimal Conventional and Novel Strategies***M. Karami<sup>1</sup>, A. Ardestir<sup>2\*</sup> and K. Behzadian<sup>3</sup>***Abstract**

Urbanisation by decreasing in pervious areas would result in increase in the risk of flood inundation and cause more discharge of pollutants into receiving water bodies. This paper presents the management of urban flood hazard in terms of inundation and pollutants discharge into receiving water bodies using a combination of the conventional and novel techniques. Conventional techniques include increasing the dimension of conduits as well as decreasing their roughness. Novel techniques on the other hand include bio-retention systems, pervious pavements, infiltration trenches, and detention ponds in urban drainage networks. In this study the multi-objective optimization model is developed using multi-objective genetic algorithm coupled with a simulation model of urban drainage system using SWMM software. The objectives are to minimize the economic cost, the inundation flood hazard, and the expected pollution reaching the receiving waters. Pollution control consider pollutants of TSS, TN, and TP. The suggested methodology was applied to a case study for the urban drainage system of Golestan city in Tehran Province. Results indicated that applying the optimal methods can considerably decrease the expected flood and pollutants. Results of Pareto front showed that indirect relation exists between the solutions of optimal control of expected inundation and the optimal control of expected pollutants in receiving water bodies.

**Keywords:** Flood management, Urban drainage networks, Hazard, Optimisation.

Received: February 28, 2015

Accepted: July 8, 2015

مدیریت خطرپذیری آبگرفتگی و آلودگی ناشی از سیلاب شهری با استفاده از راهکارهای بهینه متداول و نوین

مزگان کرمی<sup>۱</sup>، عبدالله اردشیر<sup>۲\*</sup> و کوروش بهزادیان<sup>۳</sup>

**چکیده**

توسعه شهرنشینی و درنتیجه کاهش سطوح نفوذناپذیری سبب افزایش خطرپذیری سیلاب و آلودگی بیشتر آب‌های پذیرنده می‌شود. این مقاله مدیریت خطرپذیری سیلاب شهری را با هدف کاهش آبگرفتگی و تخلیه آلاینده‌ها در آب‌های پذیرنده با به کارگیری دو روش‌های متداول و نوین ارائه می‌نماید. روش‌های متداول شامل افزایش ابعاد کانال‌های شبکه، کاهش ضریب زبری آن‌ها و روش‌های نوین شامل اجرای سیستم ماند بیولوژیکی، روسازی نفوذناپذیر، تراشه‌های نفوذ و خوضچه‌های نگهداشت در شبکه جمع‌آوری آب‌های سطحی می‌باشد. مدل بهینه‌سازی چنددهفه با استفاده از الگوریتم ژنتیک چنددهفه توسعه یافته که با مدل شبیه‌سازی SWMM ترکیب می‌شود. شبکه جمع‌آوری آب‌های سطحی توسط نرم‌افزار SWMM ترکیب می‌شود. اهداف مدل بهینه‌سازی حداقل نمودن سه معیار هزینه اقتصادی، خطرپذیری آبگرفتگی سیلاب و آلودگی محتمل آب‌های پذیرنده است. در کنترل بار آلودگی، آلاینده‌های TSS، TN و TP مدنظر قرار گرفت. کاربرد روش پیشنهادی بر روی مطالعه موردی شبکه جمع‌آوری آب‌های سطحی شهر گلستان تشریح شد. نتایج نشان می‌دهد بکاری گیری ترکیب بهینه هر دو رویکرد متداول و نوین، منجر به کاهش قابل ملاحظه و مؤثر خطرپذیری آبگرفتگی و تخلیه آلاینده‌ها در آب‌های پذیرنده می‌شود. نتایج رویه بهینه نشان می‌دهد کنترل بهینه خطرپذیری آبگرفتگی رابطه معکوس با میزان کنترل بهینه تخلیه آلاینده‌ها در آب‌های پذیرنده دارد.

**کلمات کلیدی:** مدیریت سیلاب، شبکه جمع‌آوری آب‌های سطحی شهری، خطرپذیری، بهینه‌سازی.

تاریخ دریافت مقاله: ۹۳/۱۲/۹

تاریخ پذیرش مقاله: ۹۴/۴/۱۷

1- MSc graduate, Department of Civil and Environmental Engineering, Amirkabir University of Technology, Iran.

2- Associate Professor, Department of Civil and Environmental Engineering, Amirkabir University of Technology, Iran. ardestir@aut.ac.ir

3- Assistant Professor, Environmental Research Center, Amirkabir University of Technology, Iran.

\*- Corresponding Author

۱- دانشآموخته کارشناسی ارشد مهندسی عمران، دانشکده عمران و محیط‌زیست، دانشگاه صنعتی امیرکبیر.

۲- دانشیار دانشکده عمران و محیط‌زیست دانشگاه صنعتی امیرکبیر، خیابان حافظ، تهران

۳- دانشیار دانشگاه لندن غرب، خیابان سنت مری، لندن، انگلستان

\*- نویسنده مسئول

## ۱- مقدمه

خطرپذیری سیلاب یا آبگرفتگی محتمل از مجموع حاصل ضرب احتمال وقوع یک رخداد سیلاب در شدت اثر آن به دست می‌آید. احتمال وقوع رخداد سیلاب که در نتیجه احتمال وقوع بارندگی حاصل می‌شود به صورت یک متغیر تصادفی است که همواره وجود دارد ولی اثرات آن با مدیریت بهتر سیلاب، می‌تواند کاهش پیدا کند. خطرپذیری‌های قابل بررسی در این مقاله مرتبط با کمیت و کیفیت رواناب ناشی از سیلاب است. (Jiang et al., 2009) خطرپذیری‌های سیلاب را شناسایی و عوامل مؤثر در جهت کاهش آن در منطقه در جهت کاهش خسارت‌های اقتصادی ارائه نمودند. (Abi Aad et al., 2010) روش جدیدی برای مدل‌سازی باعچه‌های باران<sup>۲</sup> و بشکه‌های آب باران<sup>۳</sup> با استفاده از نرم‌افزار SWMM<sup>۴</sup> پیشنهاد دادند و اثر تجمعی استفاده از BMP‌ها در سطح حوضه را ارزیابی نمودند. (Lee et al., 2010) نیز با استفاده از مدل SWMM صرفه اقتصادی BMP‌ها را بررسی کردند تا به چگونگی نوع و مکان و اندازه آن‌ها، پاسخ دهند. نتایج آن‌ها نشان داد از بین سه نوع BMP شامل روسازی‌های نفوذپذیر، حوضچه‌های نگهداشت، بام‌های سبز، مؤثرترین وسیله برای کنترل رواناب روسازی‌های نفوذپذیر می‌باشدند. (Young et al., 2011) روشی بر اساس استفاده از سیستم اطلاعات جغرافیایی (GIS)<sup>۵</sup> برای تعیین BMP‌ها ارائه دادند که در آن مقدار کاهش رواناب در هر سناریو به وسیله شبیه‌سازی سیستم زهکشی حوضه تعیین می‌شود. Eichenwal and McGarity (2010) با استفاده از نرم‌افزار SWMM، بهترین نوع و موقعیت BMP‌ها و پروژه‌های LID<sup>۶</sup> براساس به حداکثر رساندن کاهش حجم و بارهای رسوبی با حداقل هزینه تعیین نمودند. Jia et al. (2012) اه ساختار یکپارچه‌ای را برای برنامه‌ریزی توسعه شهری پیرامون LID-BMP‌ها به وسیله ترکیب SWMM و سیستم پشتیبانی در تصمیم‌گیری (DSS)<sup>۷</sup> پیشنهاد نمودند که در آن از یک مدل بهینه‌سازی BMP برای حداقل نمودن هزینه و حداکثر نمودن سود استفاده می‌شد. Oraei et al. (2012) با استفاده از SWMM مدلی را با هدف کاهش حجم و آلاینده‌های سیلاب و با کمترین هزینه بر اساس نوع BMP‌ها در کاربری‌های مختلف زمین پیشنهاد دادند. Karamouz and Nazif (2013) مدل بهینه‌سازی استفاده از BMP‌ها را با هدف افزایش اطمینان‌پذیری سیلاب و کاهش خسارت سیلاب و هزینه در سیستم زهکشی شهری پیشنهاد دادند. بر اساس بررسی نویسنده‌گان مقاله، در مدل‌های بهینه‌سازی استفاده از BMP‌ها در تحقیقات گذشته تاکنون هر دو هدف کاهش خطرپذیری آبگرفتگی سیلاب و آلودگی رواناب سیلاب به صورت همزمان مورد بررسی قرار نگرفته است. بنابراین در این مقاله، به کارگیری عظیم فعالیت‌های عمرانی خواهد شد (Shaver et al., 2007).

توسعه شهرنشینی به واسطه قطع درختان و تخریب پوشش گیاهی و ایجاد سطوح نفوذناپذیر، علاوه بر کاهش نفوذپذیری منطقه و عدم تغذیه مناسب آبهای زیرزمینی باعث افزایش دبی پیک سیلاب و ایجاد جریان‌های سیلابی شدید و همچنین کاهش کیفیت منابع آب می‌شود (خداشناس و تاج‌بخش، ۱۳۸۶). توسعه شهرها و به تبع آن تبدیل زمین‌های طبیعی به مناطق مسکونی باعث تغییر در چرخه هیدرولوژیکی طبیعی منطقه می‌شود (NYDEC, 2010). افزایش سطوح نفوذناپذیر به صورت قابل توجهی هیدرولوژی پیش از توسعه شهرها را تغییر داده و حداکثر جریان و حجم رواناب سطحی در محیط‌های شهری در مقایسه با محیط‌های توسعه‌یافته طبیعی افزایش می‌یابد (Coffman, 1999). همچنین از آنجایی که رواناب سطحی حاصله در محیط‌های توسعه‌یافته نمی‌تواند به جریان‌های زیرسطحی پیوند داشته باشد درنتیجه سطح جریان پایه نیز کاهش می‌یابد. بنابراین اقدامات کنترلی برای کاهش حجم رواناب و تغذیه آبهای زیرزمینی امری ضروری است (Bitting, 2006).

به کارگیری بهترین شیوه‌های مدیریتی (BMPs)، راهکاری نوین برای کنترل حجم و کاهش خطر سیلاب در عین افزایش نفوذپذیری آبهای زیرزمینی می‌باشدند. مفهوم بهترین شیوه‌های مدیریتی (BMP) در محیط‌های شهری شامل گستره وسیعی از تکنولوژی‌ها و فعالیتها می‌شود که باعث کم کردن اثرات توسعه شهری حوضه آبریز بر رژیم جریان می‌گردد (خداشناس و تاج‌بخش، ۱۳۸۶). BMP‌ها استراتژی برای کنترل حجم و حذف آلودگی‌های مشخص از رواناب سیلاب می‌باشند، بدین معنی که BMP‌ها نه تنها جریان کل و پیک رواناب را کاهش می‌دهند، بلکه کیفیت رواناب را نیز بهبود داده و مانع از آلوده شدن پیکره آبهای پذیرنده این رواناب‌ها می‌شود. بدین ترتیب آلودگی‌های جذب شده در BMP‌ها از طریق تبخیر و تعرق، نفوذ آب و تصفیه یا عملیات بیولوژیکی و شیمیایی از بین می‌رود. یکی از امتیازات عده این شیوه مدیریت نوین نسبت به دیدگاه متداول مدیریت آبهای سطحی، انعطاف‌پذیری آن‌ها می‌باشد. در برنامه‌ریزی و مدیریت سنتی (متداول) کنترل سیلاب به طور معمول هدف اصلی جمع‌آوری و دور نمودن هر چه سریع تر سیلاب از مناطق شهری در نظر گرفته می‌شود. در این نوع رویکرد سیلاب معمولاً از طریق اجرای طرح‌های سازه‌های وسیع از مناطق شهری دور می‌شود. نتیجه این نوع رویکرد، علاوه بر ایجاد پدیده‌هایی چون فرسایش خاک، افزایش بار آلودگی آبهای پذیرنده، باعث افزایش هزینه‌ها و تششعع گازهای گلخانه‌ای با توجه به حجم

## ۱-۲- مدل سازی شبیه سازی

در مدل شبیه سازی شبکه جمع آوری آب های سطحی از مدل بارش- رواناب به عنوان فرآیندهای هیدرولوژیکی و از روند یابی دینامیکی جریان به عنوان مدل سازی هیدرولیکی در نرم افزار SWMM استفاده شده است. در روند یابی جریان، موج دینامیکی با توجه به دقت بالای آن و استفاده از معادلات یک بعدی سن و نان انتخاب شده است. برای مدل سازی نفوذ آب در خاک از روش هورتون با توجه به سادگی و نیاز به داده های کم و دقت قابل قبول استفاده شده است. دیگر داده های مورد نیاز برای شبیه سازی کمی و آلودگی وضعیت موجود شبکه جمع آوری آب های سطحی که در این مطالعه استفاده گردید عبارت است از مشخصات منطقه مورد مطالعه شامل ویژگی های آب و هوایی بارش، کاربری اراضی (مسکونی با تراکم بالا، مسکونی با تراکم پایین، تجاری)، مشخصات سطوح حوضه (نظیر شیب، مساحت، نفوذ پذیری) و مشخصات آلاینده های TSS، TN، TP که به عنوان داده ورودی در نرم افزار SWMM مورداستفاده قرار گرفت.

## ۲- مدل بهینه سازی

از بین روش های مورداستفاده برای بهبود عملکرد سیستم زهکشی در مقابله با سیالاب مخصوصاً BMP ها، انتخاب بهترین مجموعه از این روش ها در این مقاله با استفاده از مدل بهینه سازی تعیین می شود. با توجه به وجود اهداف متفاوت برای انتخاب بهترین مجموعه، مدل بهینه سازی چندهدفه در این مقاله شامل سه هدف ذیل انتخاب می گردد:

- به حداقل رساندن خطرپذیری آبگرفتگی سیالاب شهری
  - به حداقل رساندن تخلیه آلاینده های سیالاب در آب های پذیرنده
  - به حداقل رساندن هزینه های سرمایه گذاری و نگهداری BMP ها
- نحوه فرمول بندی هر یک از توابع هدف در مدل بهینه سازی در ادامه با جزئیات ارائه می شود. پس از فرمول بندی توابع هدف و تعیین کروموزوم ها، مدل بهینه سازی توسط الگوریتم تکاملی چندهدفه NSGA-II حل می شود (Deb et al., 2002).

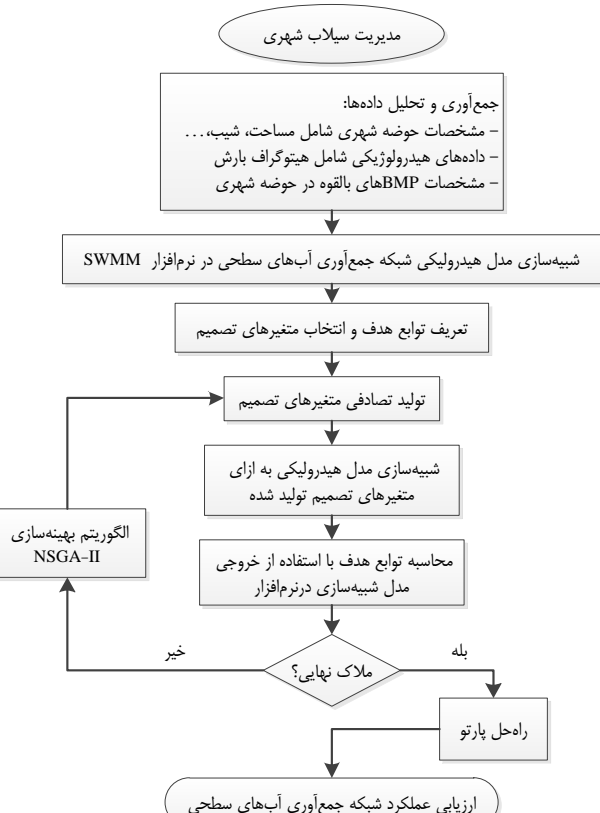
### • تابع هدف خطرپذیری محتمل آبگرفتگی سیالاب

خطرپذیری معتبر شهری ناشی از بارندگی که در نتیجه منجر به مختلط شدن خدمات شهری خواهد شد تعریف می شود. در این نوع خطرپذیری متغیر تصادفی، بارش در حوضه مورد مطالعه می باشد که بر اساس احتمال وقوع بارندگی های مختلف و شدت اثر حاصل از آن به صورت میزان آبگرفتگی حاصل از سرریز شدن آب در کanal های

آبگرفتگی و آلودگی رواناب ناشی از سیالاب به همراه خسارت سیالاب و هزینه اجرای BMP ها ارائه می شود. بدین ترتیب از ساختار یک مدل بهینه سازی چندهدفه که با مدل شبیه سازی SWMM ترکیب می شود جهت دستیابی به این اهداف استفاده می شود. در ادامه، روش تحقیق شامل مدل بهینه سازی و شبیه سازی ارائه و سپس با مطالعه موردی، نتایج بحث شده و جمع بندی یافته های کلیدی و پیشنهادها در پایان ارائه می شود.

## ۲- روش تحقیق

مدیریت سیالاب شهری در این مقاله مطابق روند نمای پیشنهادی شکل ۱ در دو بخش اصلی ارائه می شود: ۱) بخش اول تهیه مدل شبیه سازی شبکه زهکشی آب سطحی شامل جمع آوری داده و تعیین بارش های موردنظر و درنهایت مدل وضعیت موجود شبکه با استفاده از نرم افزار SWMM؛ ۲) بخش دوم تهیه مدل بهینه سازی شامل تعیین اهداف و متغیرهای تصمیم، انتخاب الگوریتم تکاملی بهینه سازی برای ارزیابی عملکرد مدل شبکه جمع آوری آب های سطحی شهری و تعیین مکان یابی بهینه BMP ها. در ادامه جزئیات بیشتر این دو بخش ارائه می شود.



شکل ۱- روند نمای مراحل مطالعاتی و مدل پیشنهادی

سیلاب مشابه خطرپذیری آبگرفتگی مطابق با رابطه (۳) از حاصل ضرب احتمال وقوع و شدت اثر محاسبه می‌شود:

$$RP = \sum_{i=1}^m \sum_{k=1}^n A_{ik} P_i \quad (3)$$

که  $A_{ik}$  = شدت اثر آلدگی برابر مجموع میزان بار آلاینده‌های موردنظر در خروجی  $k$ ام در مقابل بارش  $i$ ام،  $P_i$  = احتمال وقوع بارش  $i$ ام،  $m$  = تعداد کل بارش‌ها با دوره بازگشت‌های مختلف و  $n$  = تعداد کل خروجی‌ها در شبکه جمع‌آوری آب‌های سطحی است. شدت اثر آلدگی محتمل سیلاب شهری معمولاً به صورت میزان خسارت حاصل از آلاینده‌ها در اثر وقوع سیلاب محاسبه می‌شود. این خسارت با میزان بار آلاینده‌های سیلاب شهری ورودی به آب‌های پذیرنده رابطه مستقیم دارد. از آنجایی که حجم سیلاب غلظت آلاینده‌ها را تحت تأثیر قرار دهد برای بررسی شدت اثر آلدگی محتمل سیلاب از مقدار بار آلاینده تخلیه شده در نقاط تخلیه به آب‌های پذیرنده برحسب کیلوگرم استفاده می‌شود. این میزان آلاینده‌ها بر اساس نتایج بدست‌آمده در نرم‌افزار SWMM محاسبه می‌شود.

#### •تابع هدف مجموع کل هزینه‌ها

اصلی‌ترین محدودیت توسعه مدیریت سیلاب شهری، معمولاً هزینه‌های بالا سرمایه‌گذاری و نگهداری تکنیک‌های BMP‌ها در کنترل سیلاب است. بنابراین مجموع هزینه سرمایه‌گذاری و بهره‌برداری به عنوان یکی از اهداف سه‌گانه مدیریت سیلاب شهری باید در نظر گرفته شود چراکه تغییر در میزان سرمایه‌گذاری در جهت کنترل و کاهش سیلاب تأثیرات زیادی در میزان خطرپذیری‌های آبگرفتگی و آلدگی سیلاب خواهد داشت.

برای برآورد هزینه‌های راهکارهای مورد بررسی در این مقاله از نتایج مطالعات محققین دیگر استفاده شده است (Karamouz and Nazif, 2013 Strecker et al., 2010). تخمین هزینه BMP‌ها، اغلب به دلایلی شامل کمبود اطلاعات درست و دقیق ساخت، تنوع در محل‌های ساخت، تفاوت منطقه‌ای و شهری در طراحی مشکل است (Strecker et al., 2010). هزینه سازه‌های کنترل رواناب شامل هزینه طراحی، ساخت و عملیات احتمالی و هزینه نگهداری می‌شود. در اینجا مجموع هزینه‌های دوره عمر می‌تواند به عنوان شاخص انتخاب برای ارزیابی انواع BMP‌ها استفاده شود. ترکیبی از هزینه‌های سرمایه‌گذاری و بهره‌برداری و نگهداری در درازمدت، کل هزینه چرخه عمر را پیش‌بینی می‌کند که نماینده بهتری برای هزینه‌های پیاده‌سازی BMP است. هزینه‌های سرمایه‌گذاری، هزینه‌های اولیه اجرای BMP‌ها هستند. مطابق با توصیه‌های EPA، هزینه‌های سرمایه‌گذاری با معادلاتی بر اساس

جمع‌آوری رواناب‌های سطحی است (سلیمانی و همکاران، ۱۳۹۴). بدین ترتیب خطرپذیری آبگرفتگی (کمی) با استفاده از معادله (۱) به دست می‌آید:

$$RF = \sum_{i=1}^m \sum_{j=1}^n C_{ij} P_i \quad (1)$$

که  $C_{ij}$  = شدت اثر سیلاب در گره  $j$ ام در مقابل بارش  $i$ ام،  $P_i$  = احتمال وقوع بارش  $i$ ام،  $m$  = تعداد کل بارش‌ها با دوره بازگشت‌های مختلف و  $n$  = تعداد کل گره‌های پایش در شبکه جمع‌آوری آب‌های سطحی است.

برای مدیریت آبگرفتگی سیلاب شهری، تمرکز بر هیدرولوژی رخدادهای شدید با دوره بازگشت‌های بالا است در حالی که ارزیابی کیفی آب و میزان آلاینده‌ها، نیاز به جریان‌های رواناب‌های سطحی با رخدادهای سیلاب کوچک‌تر و متناوب‌تر (دوره بازگشت‌های پایین) می‌باشد که سهم بیشتری در شستشو و انتقال آلاینده‌ها به آب‌های پذیرنده دارد (سلیمانی، ۱۳۹۲)، در این مقاله جهت محاسبه خطرپذیری‌ها، هم از جنبه کیفی آب و هم از جنبه کمی آبگرفتگی، رخدادهای بارش با دوره بازگشت‌های ۲، ۱۰ و ۱۰۰ ساله در نظر گرفته شده است که نمایشگر انواع دوره‌های بازگشت باشد. با در اختیار داشتن دوره بازگشت بارش ( $T$ )، احتمال وقوع هر رخداد ( $P$ ) مطابق رابطه (۲) محاسبه می‌شود.

$$P = \frac{1}{T} \quad (2)$$

شدت اثر سیلاب معمولاً به صورت میزان خسارت ناشی از سیلاب ارائه می‌شود. خسارت سیلاب نیز رابطه مستقیم با میزان بزرگی سیلاب و سرعت سیلاب در سطح شهر دارد. با توجه به این که منطقه مورد مطالعه تقریباً هموار و دارای شبکه اندک است، از اثرات سرعت جاری شدن رواناب صرف نظر شده است. بنابراین در این تحقیق به عنوان جایگزین خسارت سیلاب، حجم آبگرفتگی حاصل از سریزی جریان آب در گره‌ها به عنوان شدت اثر خطرپذیری آبگرفتگی سیلاب در نظر گرفته می‌شود که این میزان از نتایج مدل شبیه‌سازی سیلاب در نرم‌افزار SWMM بدست می‌آید.

#### •تابع هدف آلدگی محتمل سیلاب

پیامدهای آلاینده‌های سیلاب در حوضه در پی یک رخداد بارندگی با میزان بار آلاینده‌ها در نقاط خروجی از حوضه و تخلیه به آب‌های پذیرنده نسبت مستقیم دارد. بنابراین آلدگی محتمل سیلاب شهری به صورت خطرپذیری ناشی از تخلیه آلاینده‌ها در نقاط انتهایی شبکه جمع‌آوری رواناب سطحی به آب‌های پذیرنده قابل محاسبه می‌باشد (سلیمانی و همکاران، ۱۳۹۴). محاسبه آلدگی محتمل ناشی از

با مشکل قابل اجرا هستند.

اندازه یا حجم BMP به صورت رابطه (۴) می‌تواند تخمین‌زده شود (USEPA, 2004)

حوضچه نگهداری مرطوب<sup>۸</sup> باعث توقف پیک سیالاب شده و نرخ حدکثر تخلیه را تحت تأثیر قرار می‌دهند اگرچه که ممکن است حجم رواناب را کاهش ندهد. همچنین باعث ایجاد زیبایی محیط‌زیست می‌شوند و در بسیاری از شرایط همانند مناطق مسکونی، تجاری و صنعتی می‌توانند مورد استفاده قرار بگیرند.

**جدول ۱- هزینه‌های سرمایه‌گذاری BMP‌ها**  
(Strecker et al., 2010)

هزینه سرمایه‌گذاری پایه (دلار)	BMP
$C = 24.5V^{0.71}$	حوضچه نگهداری
$C = 173V^{0.63}$	ترانشه‌های نفوذ
$C = (2-3)A$	سیستم‌های ماند بیولوژیکی
$C = (3-4)A$	روسانی نفوذپذیر

هزینه‌ها در دسامبر 2002 محاسبه شده‌اند و شامل هزینه زمین نمی‌شوند.  
 واحد V (حجم BMP) فوت مکعب و A (مساحت BMP) فوت مربع

$$C = aP^b \quad (4)$$

که  $C$ =هزینه سرمایه‌گذاری برآورده شده،  $P$ =متغیرهای تعیین‌کننده (حجم، مساحت یا جریان) و  $a, b$ =متغیرهای آماری تعیین‌شده از تجزیه و تحلیل رگرسیون می‌باشند. جدول ۱، معادلات رگرسیون هزینه‌های سرمایه‌گذاری (به استثنای هزینه زمین) را برای انواع BMP‌ها نشان می‌دهد (Strecker et al., 2010). همچنین هزینه تعیین در ابعاد و ضریب مانینگ کانال‌ها به عنوان توسعه راهکار سنتی برای مدیریت سیالاب شهری به صورت ارائه شده در جدول ۲ می‌باشد (Karamouz and Nazif, 2013). هزینه‌های سالانه نگهداری BMP‌ها به صورت درصدی از هزینه ساخت در جدول ۳ و جدول ۴ آورده شده است (Strecker et al., 2010). این هزینه‌ها که به صورت سالانه در کل دوره عمر مفید BMP می‌باشد. در این مقاله به صورت هزینه اولیه بر اساس ارزش حاضر و نرخ بهره تبدیل شده و با جمع با هزینه سرمایه‌گذاری، هزینه کل BMP را تشکیل می‌دهد.

**جدول ۲- هزینه کانال‌ها** (Karamouz and Nazif, 2013)

هزینه‌ها (دلار)	BMP
$C = \Delta n \times 27 \times L$	تعییرات ضریب مانینگ کانال
$C = \Delta A \times 270 \times L$	تعییرات سطح مقطع کانال

$\Delta n$  = تعییر ضریب مانینگ کانال و  $\Delta A$  = تعییر سطح مقطع کانال و  $L$  = طول کانال؛ کلیه واحدها متریک است.

**جدول ۳- هزینه نگهداری سالانه BMP‌ها**  
(Strecker et al., 2010)

هزینه سالانه نگهداری (درصدی از هزینه‌های ساخت)	BMP
3% - 6%	حوضچه نگهداری
5% - 20%	ترانشه‌های نفوذ
5% - 7%	سیستم‌های ماند بیولوژیکی

**جدول ۴- هزینه‌های نگهداری کانال‌ها**  
(Karamouz and Nazif, 2013)

هزینه سالانه نگهداری (درصدی از هزینه ساخت)	BMP
5%	تعییرات ضریب مانینگ کانال
0.5%	تعییرات سطح مقطع کانال

#### ● متغیرهای تصمیم

متغیرهای تصمیم استفاده شده عبارت است از مشخصات راهکارهای مدیریتی کنترل سیالاب شامل شیوه‌های مدیریتی سنتی (مرسوم) و نوین. متغیرهای روشن مرسوم کنترل سیالاب عبارت است از افزایش ظرفیت انتقال کانال‌های روباز موجود از طریق کاهش ضریب مانینگ کانال‌ها و افزایش سطح مقطع آن‌ها. روشهای نوین شامل به کارگیری انواع BMP‌ها (با هدف کاهش حجم رواناب و کاهش آلودگی) به صورت حوضچه نگهداری، روسازی نفوذپذیر، ترانشه نفوذ و سیستم ماند بیولوژیکی است. به طور کلی با توجه به شرایط منطقه، مقدار فضا و تجهیزات در دسترس، در این مقاله از چهار نوع BMP سازه‌ای استفاده شده است، توصیف این BMP‌ها به طور مختصر در اینجا تشریح می‌شود.

سیستم ماند بیولوژیکی<sup>۹</sup>: در کاهش جریان و حجم رواناب، بهبود کیفیت آب و مشارکت در زیباسازی یک منطقه بسیار مفید هستند و معمولاً در طول جاده‌ها، در چمنزارها، در قسمت‌هایی از پارکینگ‌های وسیع، استفاده می‌شوند و نیازمند جدول‌کشی و کانال‌کشی برای هدایت جریان آب هستند. همچنین ممکن است به یک سیستم زهکشی زیرزمینی که نفوذپذیری خاک در آن محدود است نیاز داشته باشد. این تأسیسات در تمامی مجموعه‌ها قابل استفاده هستند اما در نواحی به علت محدودیت فضای بسختی و

محدودیت‌های اجرایی آن‌ها در مناطق شهری در این مقاله مطابق مشخصات آن‌ها در جدول ۵، انجام می‌شود که بدین ترتیب برای BMP‌های بکار گرفته شده در نقاط گرهی، کانال‌ها و زیرخواصه‌ها به ترتیب ۱، ۲ و ۳ متغیر تصمیم می‌باشد. بدین ترتیب، جزیيات کدگذاری ژنتیکی (متغیر تصمیم) هر کروموزوم‌ها (جواب) مطابق شکل ۳ می‌باشد. کدگذاری عدد صحیح برای متغیرهای تصمیم مساحت خواصه‌های نگهداشت، نوع BMP‌ها و عدد حقیقی برای متغیرهای تصمیم ابعاد و ضریب مانینگ کانال و مساحت BMP‌ها استفاده شده است. موقعیت خواصه‌های نگهداشت در این مقاله از پیش تعريف شده است (سلیمانی، ۱۳۹۲)

مدل شبیه‌ساز هیدرولیکی تهیه شده با نرم‌افزار SWMM، با مدل بهینه‌ساز الگوریتم ژنتیک چنددهفه که در محیط متلب آماده شده، در قالب یک مدل شبیه‌ساز بهینه‌ساز ادغام شده و با یکدیگر ارتباط برقرار می‌نمایند. به بیان دقیق‌تر، متغیرهای تصمیم هر جواب مربوط به مدل بهینه‌سازی به مدل شبیه‌سازی وارد شده و تنظیم می‌شود. با اجرای مدل شبیه‌سازی، نتایج شبیه‌سازی برای تعیین توابع هدف مدل بهینه‌سازی و رتبه‌بندی جواب‌های الگوریتم بهینه‌سازی استفاده می‌شود. این روند تا زمانی که ملاک نهایی مدل بهینه‌سازی برقرار گردد (شکل ۱)، تکرار می‌گردد و درنهایت رویه بهینه پارتو که مجموعه‌ای از جواب‌های بهینه می‌باشد، ایجاد می‌شود.

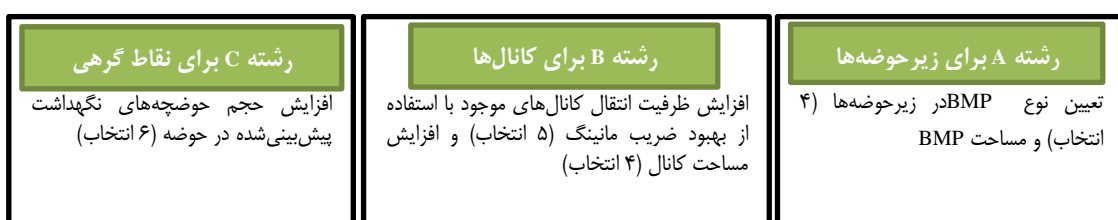
ترانشه نفوذ<sup>۳</sup>: برای کنترل حجم رواناب از طریق نفوذ استفاده می‌شود و آب‌های زیرزمینی و نفوذ آب به زمین را تقویت می‌کنند، حجم رواناب حداکثر را کاهش می‌دهند و کیفیت آب را بهبود می‌بخشند.

روسازی نفوذپذیر<sup>۴</sup>: علاوه بر بهبود کیفیت آب، باعث کاهش حداکثر دبی در یک مکان شده و باعث تقدیم آب‌های زیرزمینی کاهش آب‌های راکد در جاده‌ها و اماکن دیگر می‌شوند. درنهایت کاهش نفوذپذیری با استفاده از این روش، زمان تمرکز را افزایش می‌دهد و بنابراین جریان‌های محلی و خسارت به سیستم‌های زهکشی را کاهش می‌دهد.

بدین ترتیب ساختار کروموزوم‌های مورداستفاده (متغیرهای تصمیم) که در شکل ۲ نشان داده شده است از ۳ بخش اصلی تشکیل شده‌اند: زیرخواصه‌ها<sup>۵</sup>، کانال‌ها<sup>۶</sup>، نقاط گرهی<sup>۷</sup>. با توجه به ساختار کروموزوم و مؤلفه‌های سیستم زهکشی، طول کروموزوم<sup>۸</sup> (CL) برابر خواهد بود با:

$$CL = n_s \times BMP_s + n_L \times BMP_L + n_p \times BMP_p \quad (5)$$

که ترتیب تعداد زیرخواصه‌ها، کانال‌ها، خواصه‌ها و  $n_s, n_L, n_p$  به ترتیب انتخاب کانال‌ها، کانال‌ها، خواصه‌ها و  $BMP_p, BMP_L, BMP_s$  به ترتیب انتخاب نوع متغیر تصمیم در BMP به کار گرفته شده برای زیرخواصه‌ها، کانال‌ها و خواصه‌ها می‌باشد. نوع متغیر تصمیم BMP بر اساس مشخصات و



شکل ۲- ساختار کروموزوم (متغیرهای تصمیم) در مدل بهینه‌سازی

#### جدول ۵- مشخصات و محدودیت‌های BMP‌های استفاده شده

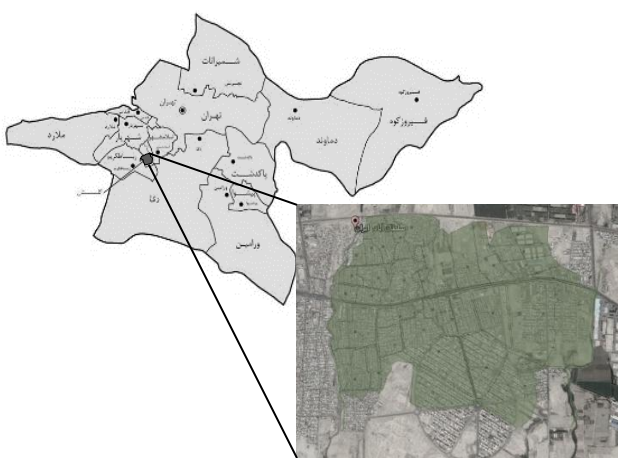
مؤلفه سیستم زهکشی	هدف از اجرای BMP	تغییرات ممکن	گزینه‌های قابل انتخاب
زیرخواصه‌ها	کاهش حجم رواناب تولیدشده با افزایش ظرفیت نفوذ	به کار گیری روسازی نفوذپذیر، ترانشه نفوذ، سیستم ماند بیولوژیکی و درصد آن در زیرخواصه	نوع BMP شامل یکی از ۴ گزینه روسازی نفوذپذیر، ترانشه نفوذ، سیستم ماند بیولوژیکی و درصد درصد مساحت BMP بین ۱۰-۲۰٪ زیرخواصه
کانال‌ها	افزایش ظرفیت انتقال کانال‌های موجود	افزایش عرض کانال	تغییر عرض کانال‌های موجود به عرض ۶۰-۷۰ سانتی‌متر
نقاط گرهی	افزایش ظرفیت نگهداشت	ساخت حوضه‌های نگهداشت	ساخت حوضه نگهداشت با ارتفاع ۲ متر و مساحت ۱۰، ۱۲، ۱۴، ۱۶، ۱۸، ۲۰ مترمربع

مورد مطالعه که سازمان نقشه‌برداری کشور در سال ۱۳۸۰ تهیه نموده است، تقسیم‌بندی زیرحوضه‌ها با در نظر گرفتن توپوگرافی، مشخصات کاربری زمین، شبکه جمع‌آوری و محل خروجی رواناب انجام شد (شکل ۵). رواناب این زیرحوضه‌ها به دو نهر شادچای و سیاه‌آب تخلیه می‌شود، خروجی این دو نهر به عنوان محل تخلیه به آبهای پذیرنده منظر قرار می‌گیرد. روشی که برای تقسیم‌بندی زیرحوضه‌ها بکار گرفته شده است بر اساس شبیه خیابان‌ها و مسیر حرکت رواناب می‌باشد. به دلیل این روش تقسیم‌بندی صورت می‌گیرد: رواناب موجود یک زیرحوضه بعد از جریان یافتن در طول زیرحوضه وارد کanal شود. رواناب موجود در زیرحوضه باید از نقاط خروجی زیرحوضه خارج شود. بدین ترتیب، شبکه موجود به ۳۳ زیرحوضه تقسیم شده است. طرح کلی شبکه و زیرحوضه‌های مورد مطالعه در نرم‌افزار SWMM به همراه دو نهر شادچای و سیاه‌آب و محل تخلیه رواناب شبکه در شکل ۵ نشان داده شده است.

بر اساس مقادیر توصیه شده در نرم‌افزار SWMM و شرایط موجود در مطالعه موردنی، ضریب مانینگ برای سطوح نفوذپذیر زیرحوضه‌ها ۰,۱ و برای سطوح نفوذناپذیر و کanal‌های بتی موجود در حوضه ۰,۰۱۴ پیشنهاد شده است (Rossman, 2010).

**جدول ۶- شدت بارندگی‌های موردنظر بر حسب میلی‌متر بر ساعت**

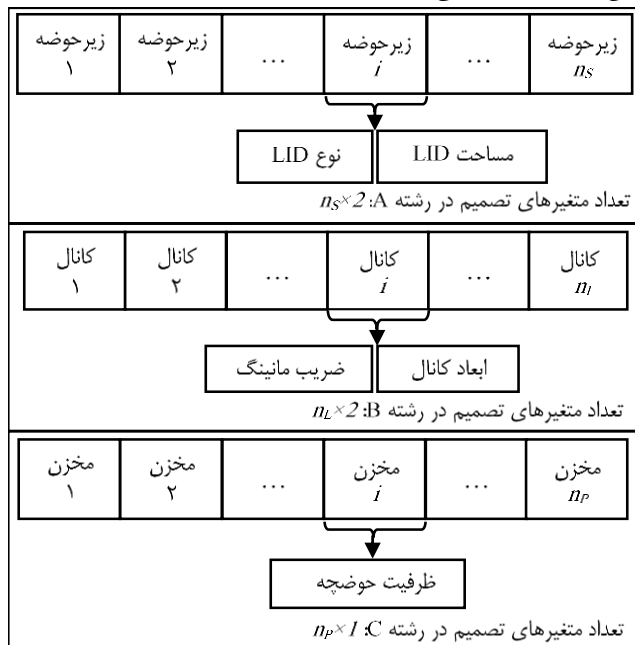
دوره بازگشت		تداوم بارش		
۱۰۰ سال	۱۰ سال	۲ سال	(ساعت)	
۵,۹۴	۳,۰۴۲	۱,۹۴	۶	



**شکل ۴- موقعیت منطقه مورد مطالعه بر روی نقشه استان تهران**

### ۳- مطالعه موردنی و تنظیمات مدل شبیه‌سازی

مدل پیشنهادی بر روی مطالعه شبکه جمع‌آوری و هدایت آبهای سطحی شهر گلستان که واقع در جنوب استان تهران می‌باشد تشریح می‌شود (شکل ۴). ارتفاع متوسط شهر گلستان ۱۰۴۶,۳۰ متر از سطح دریا و اختلاف ارتفاع بین بلندترین و پست‌ترین نقاط ۲۷,۱۹ متر تعیین گردیده است. جهت کلی شبیه محدوده مطالعه از نواحی شمالی به محدوده‌های جنوبی است و متوسط مقدار شبیه سطح شهر بین ۵,۰ تا ۳ درصد می‌باشد.



**شکل ۳- ساختار کدگذاری کروموزوم‌ها برای زیرحوضه‌ها، کanal‌ها، نقاط گرهی**

منحنی‌های شدت-مدت-فراوانی<sup>۱۵</sup> ایستگاه باران‌سنگی مهرآباد به عنوان مبنای داده‌های جوی زیرحوضه این شبکه جمع‌آوری آبهای سطحی در نظر گرفته شد. بررسی این منحنی‌ها توسط نویسنده‌گان نشان داد بارش‌های با تداوم ۶ ساعت بحرانی ترین میزان بارش در بین منحنی‌های این ایستگاه‌ها را دارد. بنابراین برای ارزیابی خطرپذیری‌های کمی و کیفی، بارش‌های ۱۰۰، ۲، ۱ ساعت با تداوم ۶ ساعت در این ایستگاه مدنظر قرار گرفت. شدت این سه بارش از منحنی شدت-مدت-فراوانی ایستگاه ایستگاه مهرآباد در جدول ۶ استخراج شده است. برای توزیع زمانی شدت بارش از روش زن<sup>۱۶</sup> و چاو<sup>۱۷</sup> استفاده گردید (Prodanovic and Simonovic, 2004).

برای مدل‌سازی منطقه، حوضه مورد مطالعه باید به حوضه‌های کوچک‌تر تقسیم شود. با استفاده از نقشه رقومی ۱:۲۰۰۰ منطقه

استفاده نشده بود انجام شد. با توجه به اینکه اندازه‌گیری جریان در مجاری انتقال شبکه فقط در دو نقطه خروجی حوضه نهرهای شادچای و سیاه‌آب در دسترس بود، فرآیند کالیبراسیون و صحت‌سنجی آن‌ها صرفاً با توجه به این نقاط انجام شد.

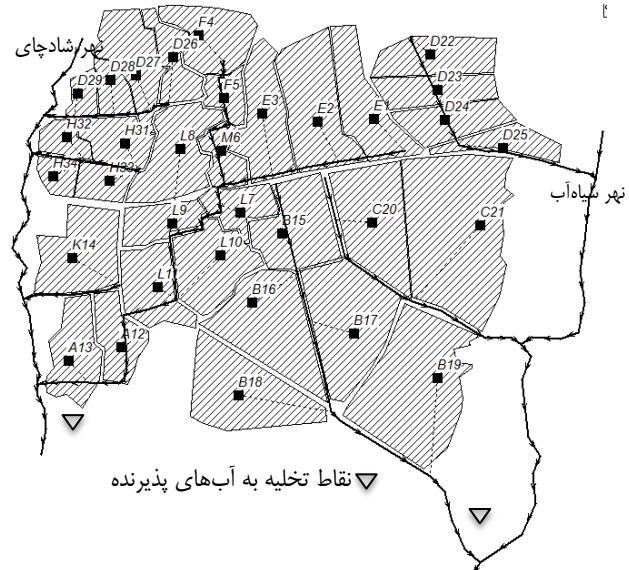
پارامترهای کیفی آب که لازم است در فرآیند کالیبراسیون مدل تنظیم شوند عبارت‌اند از میزان ضرایب ثابت حداکثر تجمع میزان آلاینده‌ها و ثابت نیمه اشباع برای تابع شبیه‌سازی تجمع آلاینده‌ها (Build-up) و ضرایب شستشو و توان شستشو در تابع نمایی شبیه‌سازی شستشوی آلاینده (wash-off) (Rossman, 2010). از انجایی که داده‌های مشاهداتی متغیرهای کیفی آب (نظیر بار آلودگی آلاینده‌های مورد تحلیل) برای شبکه جمع‌آوری آب در زمان پارندگی در این مطالعه موردی در دسترس نبود، در اینجا میزان این ضرایب براساس مقادیر پیشنهادی غلظت استاندارد کیفی آب‌های سطحی برای آلاینده‌های TSS، TN و TP مطابق استاندارد سازمان محیط‌زیست آمریکا (EPA, 2010) در نظر گرفته شده است (سلیمانی و همکاران, ۱۳۹۴). سلطانی (۱۳۸۸) نشان داد که ضرایب پیشنهادی برای معادلات تتابع تجمع و شستشوی آلاینده‌ها با مقادیر اندازه‌گیری شده در تهران با تقریب نسبتاً خوبی مطابقت دارد.

۴- تنظیمات مدل بهینه‌سازی

در الگوریتم بهینه‌سازی فرض می‌شود که در هر یک از ۳۳ زیرحوضه موجود در شبکه، اجرای فقط یک نوع BMP از بین BMP‌های موجود امکان‌پذیر است. تعداد ۹۴ کانال در شبکه به عنوان مجاری بالقوه، امکان تغییر ابعاد و ضریب مانینگ دارند. در نقاط گرهی فرض می‌شود ۶ مخزن نصب شده باشد که حجم آن‌ها می‌تواند تغییر نماید. در کلیه این متغیرهای تصمیمی، عدم اجرای آن‌ها نیز در نظر گرفته شده است. طبق معادله (۵) طول کروموزوم‌ها برابر است با:

$$طوا = ٣٣ \times ٢ + ٩٤ \times ٢ + ٦ \times ١ = ٢٦$$

تنظیمات الگوریتم تکاملی NSGA-II با استفاده از چندین اجرای آزمایشی با نسل های اولیه تصادفی روی مدل پیشنهادی تعیین گردید به گونه ای که سریع ترین همگرا بی برای یافتن جواب های بهینه حاصل گردد. بر این اساس اندازه جمعیت هر نسل ۵۰ کروموزوم، عملگر جهش با احتمال ۰,۱ و عملگر جابجایی (ترویج) دونقطه ای با احتمال ۰,۸ انتخاب شده است. همچنین پس از تعدادی اجرای مدل بهینه سازی مشخص گردید که اجرای الگوریتم بهینه سازی با حداقل تعداد نسل ۴۰۰ برای رسیدن به همگرا بی کافی نمی باشد.



شکل ۵- موقعیت زیرخوشه‌ها و کانال‌های زهکشی شهر گلستان در نرم‌افزار SWMM

همچنین، برای مدل‌سازی نفوذ، روش هورتون به کار گرفته شده است. مطابق با ویژگی‌های منطقه، ضرایب معادله هورتون با توجه به مقادیر پیشنهادی نرم‌افزار SWMM استفاده شده است (Rossman, 2010). در نزدیکی حوضه رباط‌کریم ضریب هدایت هیدرولیکی خاک برابر ۴۴ میلی‌متر در ساعت می‌باشد (حفیظی و پاشاخانلو، ۱۳۸۵). آلینده‌های مدل‌سازی شده در این مقاله شامل سه آلینده TSS، TP، TN می‌باشند. به‌منظور شبیه‌سازی کیفی انبیاشت آلینده‌ها<sup>۱۹</sup> از روش تابع اشباع و برای شستشوی مواد<sup>۲۰</sup> از روش تابع نمایی در SWMM استفاده شده است.

پس از ساخت مدل شبیه‌سازی SWMM، کالیبراسیون پارامترهای مدل شامل متغیرهای کمی مدل با استفاده از مقایسه داده‌های مشاهداتی و محاسباتی برای دو هیدروگراف خروجی‌های حوضه آبریز شهری برای هایتوگراف یک بارندگی تاریخی موجود به روش سعی و خطأ انجام گردید. در این رویکرد در یک فرآیند تکراری، پارامترهای کالیبراسیون به نحوی تغییر داده می‌شود که اختلاف بین هیدروگراف‌های خروجی مدل محاسباتی و هیدروگراف‌های مشاهداتی به حداقل برسد. در فرآیند کالیبراسیون فقط تعداد محدودی از پارامترهای مدل با بیشترین عدم قطعیت تنظیم گردید. پارامترهایی هیدرولیکی آب مورداستفاده برای کالیبراسیون در این مدل عبارت‌اند از میزان ضرایب زبری مجاری جمع‌آوری و انتقال آبهای سطحی و میزان ضرایب نفوذنیزیری زیرحوضه‌های مدل‌سازی و رطوبت اولیه خاک. صحت سنجی عملکرد کالیبراسیون مدل با استفاده از یکی از پارش‌هایی که در فرآیند کالیبراسیون

٥- نتایج و بحث

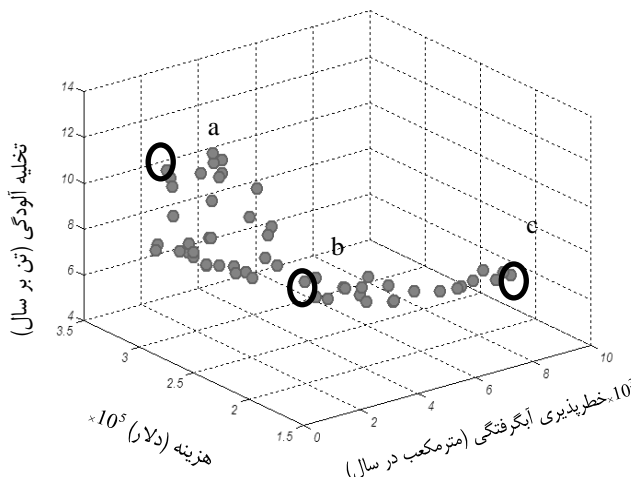
پس از انجام تنظیمات مدل بهینه‌سازی، الگوریتم با چندین نسل اولیه متفاوت اجرا گردید و درنهایت بهترین جواب انتخاب شد.

$$\left[ 6 \times \binom{6}{1} \right] \times \left[ 94 \times \binom{4}{1} \right] \times \left[ 94 \times \binom{5}{1} \right] \times \left[ 33 \times \binom{12}{1} \right] \times \left[ 33 \times \binom{4}{1} \right] \cong 3 \times 10^{11}$$

با توجه به چنین فضای بزرگ جواب مسئله، دستیابی به جواب بهینه کلی برای روش‌های بهینه‌سازی تضمین نمی‌شود و جواب‌ها به عنوان جواب نزدیک به بهینه تلقی شوند. همچنین مقایسه این فضای سیار بزرگ جواب‌های امکان‌پذیر (قابل شمارش) با تعداد کل مجموعه جواب‌های بررسی شده در روش الگوریتم ژنتیک ( $50 \times 400 = 20000$ ) برای دستیابی به جواب نزدیک به بهینه، قابلیت بالای روش بهینه‌سازی الگوریتم ژنتیک را در دستیابی به جواب‌های بهینه نشان می‌دهد. شکل ۶ یک نمونه از رویه بهینه پارتو و جواب نزدیک به بهینه نسبت به سه تابع هدف ذکر شده برای مدل بهینه‌سازی چنددهده سیستم جمع‌آوری آب‌های سطحی گلستان را نشان می‌دهد. برای هر نقطه روی روش بهینه پارتو مجموعه راهکارهای پیشنهادی متشکل از BMP‌ها وجود دارد که خطرپذیری آبگرفتگی، آلوگی محتمل و هزینه‌ی کل مشخصی را ایجاد می‌نماید. تصمیم‌گیرنده می‌تواند هر یک از نقاط روی این رویه را بر اساس محدودیت‌های خطرپذیری آبگرفتگی، آلوگی یا اقتصادی به عنوان یک جواب برتر جهت راهکارهای مدیریت سیالاب انتخاب نماید. در این رویه بهینه، محدوده خطرپذیری آبگرفتگی سیالاب بین ۲۲۰ مترمکعب و ۹,۱ هزار مترمکعب در سال، بازه آلوگی محتمل آلاینده‌ها از ۵,۷ تا ۱۳,۸ تن در سال و هزینه اجرای راهکارها بین ۱۹۵ و ۳۰۷ هزار دلار تغییر می‌نماید. درحالی که خطرپذیری آبگرفتگی سیالاب در وضعیت موجود (بدون استفاده از رویکردهای بهینه نوین و متداول) در شبکه برابر  $7,06$  هزار مترمکعب در سال و آلوگی محتمل آن آبگرفتگی برابر  $8,5$  تن در سال است. بنابراین درصورتی که هدف صرفاً کاهش خطرپذیری آبگرفتگی با همین میزان خطرپذیری آلایندگی باشد، امکان کاهش سیالاب محتمل تا حد  $50$  مترمکعب وجود دارد (شکل ۸). درصورتی که هدف کاهش آلوگی محتمل در عین حفظ میزان خطرپذیری آبگرفتگی باشد، امکان کاهش آلوگی، محتمل تا حد  $4,6$  تن در سال وجود دارد.

شکل ۷ رویه بهینه پارتو را نسبت به دو هدف نشان می‌دهد که در آن‌ها، هدف سوم (خط‌بیزیری آبگرفتگی) با افزایش شاعع دایره‌ها افزایش می‌یابد. با بررسی آماری جواب‌های رویه بهینه پارتو نسبت به دو هدف هزینه کل و آلودگی محتمل، می‌توان آن‌ها را مطابق شکل ۷ در سه گروه قرار داد: ۱- گروه اول جواب‌هایی که دارای

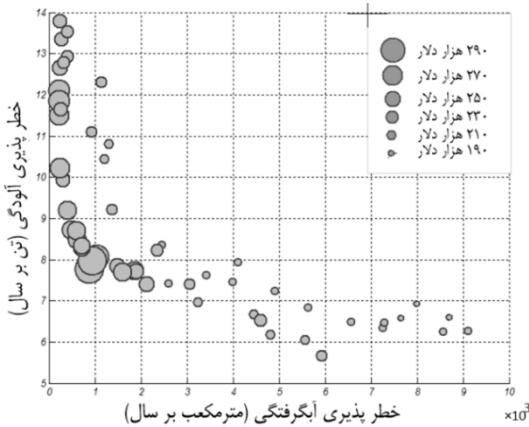
آلودگی محتمل بالا اما خطرپذیری آبگرفتگی قابل قبول و هزینه‌ی اجرای راهکارها پایین دارند. - گروه دوم جواب‌هایی که خطرپذیری آلاینده و هزینه‌ی اجرای پایین اما خطرپذیری آبگرفتگی بالا دارند. - گروه سوم نیز شامل جواب‌هایی است که به نسبت گروه اول آلودگی محتمل کمتر و نسبت به گروه دوم هزینه کمتری دارند و از نظر آبگرفتگی میزان خطرپذیری قابل قبولی را می‌پذیرند. در شرایطی که هیچ‌گونه شرایط محدودیت کننده برای تصمیم‌گیری وجود نداشته باشد، جواب‌های گروه سوم برای انتخاب نهایی پیشنهاد می‌شود چراکه جواب‌های این گروه آلودگی محتمل یا آبگرفتگی کمتری نسبت به گروه‌های اول و دوم دارد در عین اینکه به طور هم‌زمان دستیابی به خطرپذیری‌های آبگرفتگی و آلاینده و هزینه اقتصادی پایین امکان‌پذیر نیست.



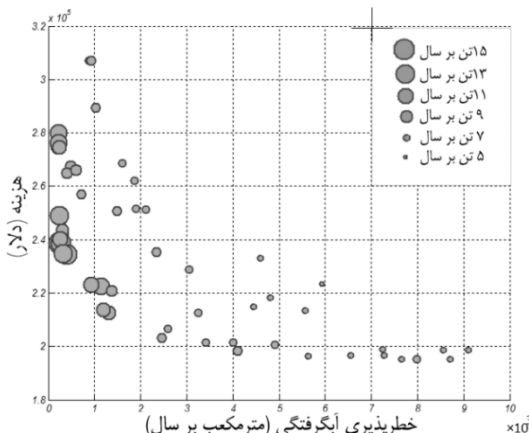
**شکل ۶- رویه بهینه پارتو مدل بهینه‌سازی نسبت به سه تابع هدف**

بررسی شکل ۸ نشان می‌دهد که خطرپذیری آبگرفتگی با آلدوجی محتمل در شبکه جمع‌آوری آبهای سطحی رابطه عکس با یکدیگر دارد (هزینه اجرای راهکارها با افزایش شعاع دایره‌ها افزایش می‌یابد). به عبارتی، در صورت انتخاب جوابی با دستیابی به کمترین میزان خطرپذیری آبگرفتگی سیلاپ، مقدار آلایینده‌های تخلیه شده به آبهای پذیرنده به حداقل میزان ممکن خواهد رسید. دلیل این امر این موضوع می‌تواند باشد که با اجرای راهکارهای کنترل سیلاپ برای کاهش میزان آبگرفتگی گره‌ها، آلایینده به سمت خروجی حوضه انتقال داده می‌شوند و مقدار بار آلایینده‌ها در نقاط خروجی و در نتیجه آلدگی محتمل افزایش می‌یابد. این در حالی است که در جوابهای با حجم آبگرفتگی قابل توجه در گره‌ها، عمدتاً با اجرای BMPها به وسیله راهکارهای ارائه شده در سطح حوضه نیز این

افزایش می‌یابد. متغیرهای تصمیم جواب (c) نشان می‌دهد که BMP‌ها با مساحت بالا در نظر گرفته شده‌اند، به همین دلیل آلدگی محتمل کمتر و خطرپذیری آبگرفتگی بیشتر است. جواب (b) مربوط به حالتی است که هم از ابعاد کanal و هم از BMP‌ها به صورت بهینه استفاده شده است، که هم می‌تواند تا حدی خطر آبگرفتگی و خطر آلدگی را کنترل نماید.



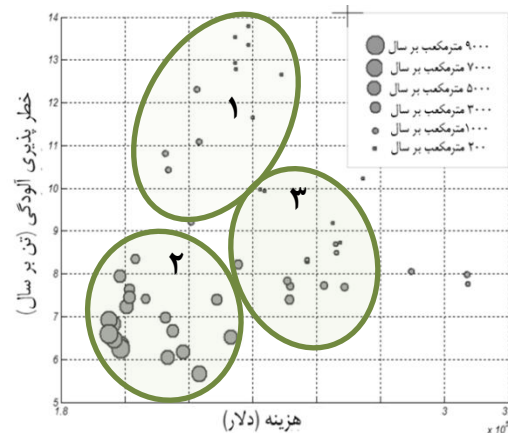
شکل ۸- رویه بهینه پارتو نسبت به دو هدف خطرپذیری کمی و کیفی



شکل ۹- رویه بهینه پارتو نسبت به دو هدف خطرپذیری کمی و هزینه

به منظور ارزیابی بهتر عملکرد جواب‌های مدل بهینه‌سازی ارائه شده، در اینجا یکی از جواب‌های رویه پارتو در این قسمت با دو راهکار پیشنهادی بدون بهینه‌سازی مقایسه می‌شود و درصد تغییرات (بهبود) خطرپذیری آبگرفتگی و آلدگی محتمل نسبت به وضعیت موجود شبکه (بدون در نظر گرفتن راهکارها) بررسی می‌گردد. جواب بهینه‌سازی با توجه به اینکه در محدوده‌ای که هم خطرپذیری آبگرفتگی و هم آلدگی محتمل و هم هزینه قابل قبولی نسبت به

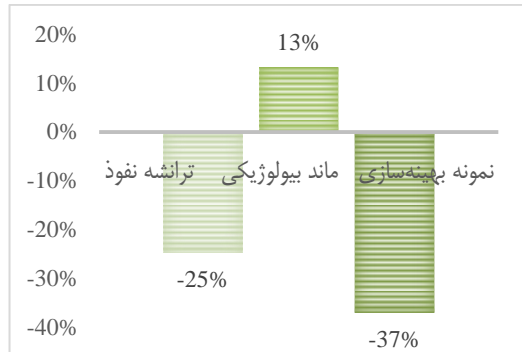
می‌روند که در نتیجه بار آلاینده‌ها در خروجی حوضه کم می‌گردد و در هر صورت به سمت تخلیه کننده‌ها کمتر می‌روند. در راهکارهای سنتی کنترل سیلاپ، توجه به بهبود خطرپذیری آبگرفتگی، افزایش بار آلاینده‌ها در نقاط خروجی را در پی خواهد داشت و در راهکارهای نوین، BMP‌ها عملکرد کیفی را در حوضه بهبود می‌بخشنند، اما خطرپذیری آبگرفتگی را افزایش خواهند داد. بنابراین، برای مدیریت کمی و کیفی سیلاپ استفاده تلفیقی از هر دو راهکار توصیه می‌شود تا بتوان در کنار کاهش خطرپذیری آبگرفتگی، میزان تخلیه‌ها در آب‌های پذیرنده نیز کنترل شود.



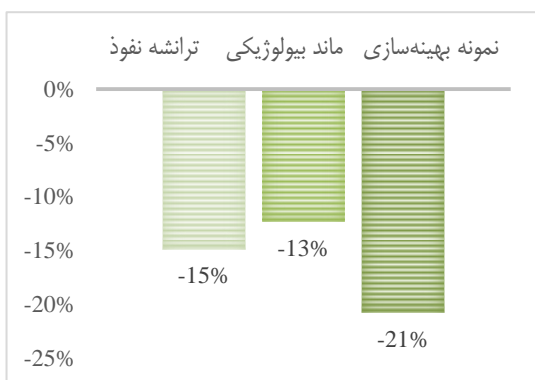
شکل ۷- رویه بهینه پارتو نسبت به دو هدف هزینه و کیفی

بررسی شکل ۹ نشان می‌دهد با افزایش هزینه اجرای راهکارها، به صورت مستقیم باعث کاهش خطرپذیری آبگرفتگی سیلاپ می‌شود (آلدگی محتمل با افزایش شعاع دایره‌ها افزایش می‌یابد). بنابراین زمانی که به حداقل رساندن خطرپذیری کمی سیلاپ موردنمکار باشد، لازم است هزینه بسیار بالایی برای آن صرف شود. دلیل این امر آن است که برای راهکارهای پیشنهاد شده نظریه‌ها و حوضچه‌های نگهداشت و همچنین روش‌های سنتی در BMP‌ها بزرگ‌تر هزینه بیشتری باید انجام شود. هزینه این نیز با مساحت و حجم اجرای آن‌ها رابطه‌ای مستقیم دارد. برای کاهش حجم هم نیاز به تغییر در عرض کanal‌ها و همچنین استفاده از BMP‌ها در مساحت و حجم بیشتر خواهد بود.

در جدول ۷ سه نمونه a، b و c از نقاط بهینه بر روی منحنی پارتو (شکل ۶) با هم مقایسه شده‌اند. جواب (a) بیشینه هزینه را دارا می‌باشد، در متغیرهای تصمیم این جواب، ابعاد حداقل کanal‌های موجود افزایش داده شده است، به این دلیل خطرپذیری آبگرفتگی به حداقل مقدار ممکن رسیده است. همچنین به علت افزایش حجم سیلاپ، مقدار بار آلاینده که توسط سیلاپ به نقاط خروجی می‌رسد،



شکل ۱۰- تغییرات خطرپذیری آبگرفتگی به ازای راهکارهای مختلف



شکل ۱۱- تغییرات آводگی محتمل به ازای راهکارهای مختلف

## ۶- نتیجه‌گیری

در این مطالعه، روشی برای تعیین ترکیب بهینه استفاده از BMPها و افزایش ابعاد کanal به منظور استفاده بهینه از راهکارهای مدیریتی معرفی شد. روش مذکور از نتایج مدل سازی هیدرولوژیکی- هیدرولوکی برای مکانیابی BMPها به منظور کنترل آبگرفتگی و آводگی رواناب ناشی از سیالاب استفاده می‌کند. مدل SWMM برای مدل سازی هیدرولوژیکی و هیدرولوکی و الگوریتم NSGA-II برای بهینه سازی مورداستفاده قرار گرفت. به منظور نشان دادن کاربرد روش ارائه شده، این الگوریتم روی زیرحوضه شهری گلستان واقع در استان تهران انجام شد. خروجی الگوریتم با در نظر گرفتن کاهش خطرپذیری‌های آبگرفتگی و آводگی و هزینه اجرای BMPها، نوع و مساحت BMPهای بهینه برای هر زیرحوضه و مساحت کanalهای موجود می‌باشد. الگوریتم ارائه شده نشان می‌دهد که روند به کارگیری BMPها در هر مکان از شبکه را در سطح یک شهر به نحو چشمگیری میزان خطرپذیری‌های آبگرفتگی و آvodگی محتمل در پیشنهادی موردنرسی عبارت‌اند از:

بقیه جوابهای رویه بهینه دارد انتخاب می‌گردد. راهکارهای پیشنهادی موردنرسی عبارت‌اند از:

جدول ۷- مقایسه توابع هدف سه نمونه از نقاط حدی رویه

### بهینه پارتو

خطرپذیری آبگرفتگی (مترمکعب در سال)	هزینه (دلار) (تن در سال)	آводگی محتمل (%)
۰,۲۱۳۹۱	۲۷۹۹۲۰	۱۲۱۱۳,۴
۳,۰۵۲۸۶	۲۲۸۷۶۸,۷	۷۴۰۸,۸۲
۹,۱۰۳۳۵	۱۹۸۶۲۹,۱	۶۲۷۰,۶۱

۱- سیستم ماند بیولوژیکی: در این راهکار فرض می‌گردد اجرای سیستم ماند بیولوژیکی در ۲۰٪ مساحت ۳۳ زیرحوضه صورت گیرد.

۲- ترانشه نفوذ: در این راهکار نیز فرض می‌شود در وضعیت موجود شبکه، ترانشه نفوذ در ۲۰٪ مساحت ۳۳ زیرحوضه اجرا گردد.

درصد تغییرات خطرپذیری آبگرفتگی (كمی) نسبت به وضعیت موجود شبکه برای سه روش منتخب در شکل ۱۰ مساحت ۳۳ زیرحوضه صورت گیرد. در آن علامت منفی نشان‌دهنده کاهش خطرپذیری آبگرفتگی سیالاب می‌باشد. اجرای راهکارهای پیشنهادی، میزان خطرپذیری آبگرفتگی را نسبت به وضعیت فعلی شبکه کاهش می‌دهد، اما همان‌طور که مشاهده می‌گردد با اجرای بهینه BMPها که به صورت ترکیبی از راهکارهای مدیریتی می‌باشد، خطرپذیری آبگرفتگی نسبت به راهکارهای پیشنهادی موردنرسی به میزان بیشتری کاهش یافته است.

آводگی محتمل از مجموع بار آلاینده‌های TN، TSS و TP به آبهای پذیرنده شبکه جمع‌آوری آبهای سطحی به دست می‌آید. مقادیر آводگی محتمل به ازای راهکارهای مختلف در شکل ۱۱ نشان داده شده است. روش از نفوذپذیر، سیستم ماند بیولوژیکی و ترانشه نفوذ با هدف کاهش بار آلاینده‌ها اجرا می‌گردد. نتایج نیز کاهش آводگی محتمل را برای راهکارهای اجرای BMPها به صورت جداگانه نشان می‌دهد. بیشترین مقدار کاهش آводگی محتمل در شرایط بهینه‌سازی مشاهده می‌شود (۲۱٪) که نشان می‌دهد تلفیقی از این راهکارها با هم، بهترین عملکرد را در کاهش آvodگی محتمل خواهند داشت.

خداشناس س، تاجبخش م (۱۳۸۶) بهره‌گیری از روش‌های نوین کنترل سیالاب شهری برای استفاده بهینه در منابع آب. مجموعه مقالات کنفرانس ملی توسعه منابع آب، زاهدان، ایران، ۱۰-۱۱ اسفند.

سلیمانی م (۱۳۹۲) ارزیابی و اولویت‌بندی خطرپذیری‌های ساخت و بهره‌برداری یک شبکه جمع‌آوری و هدایت آب‌های سطحی شهری. پایان‌نامه کارشناسی ارشد، دانشگاه امیرکبیر، تهران.

سلیمانی م، بهزادیان ک، اردشیر ع (۱۳۹۴) ارزیابی راهکارهای اصلاح شبکه زهکشی آب‌های سطحی شهری بر اساس معیارهای مبتنی بر ریسک. مجله آب و فاضلاب، در حال چاپ تابستان ۱۳۹۴.

سلطانی م (۱۳۸۸) مدل سازی کیفی نهرهای درون شهری. پایان‌نامه کارشناسی ارشد، دانشکده عمران دانشگاه صنعتی شریف، تهران

Abi Aad M, Suidan M, Shuster W (2010) Modeling techniques of best management practices: rain barrels and rain gardens using EPA SWMM-5. Journal of Hydrologic Engineering 15:434-443.

Bitting J (2006) A methodology and evaluation tool for comparing post-construction storm water best management practises. M.Sc. Thesis, Cambridge University .

Coffman L (1999) Low-impact development design strategies, an integrated design approach. Washington D.C: U.S. Environmental Protection Agency.

Deb K, Pratap A, Agarwal S, Meyarivan T (2002) A fast and elitist multiobjective genetic algorithm: NSGA-II Evolutionary Computation, IEEE Transactions on 6(2): 182-197.

Eichenwald Z, McGarity A (2010) Watershed-based optimal stormwater management: part 2—hydrologic modeling of LID/BMP sites on little crum creek in suburban philadelphia. World Environmental and Water Resources Congress 2010: 2522-2530.

Jia H, Lu Y, Yu S, Chen Y (2012) Planning of LID-BMPs for urban runoff control: the case of beijing olympic village. Separation and Purification Technology 84:112-119.

Jiang W, Deng L, Chen L (2009) Risk assessment and validation of flood disaster based on fuzzy mathematics. Progress in Natural Science 19:1419–1425.

Karamouz M, Nazif S (2013) Reliability-based flood management in urban watersheds considering

۱- کنترل بهینه میزان خطرپذیری آبگرفتگی رابطه معکوس با میزان کنترل بهینه آلدگی محتمل آاینده در نقاط خروجی و آب‌های پذیرنده دارد.

۲- برای دستیابی به بهترین جواب باید لازم است از ترکیب هر دو راهکار سنتی و نوین استفاده گردد تا هر دو خطرپذیری آبگرفتگی و آلدگی به میزان قابل قبولی کاهش یابند.

۳- الگوریتم بهینه‌سازی به کاررفته برای استفاده ترکیبی از راهکارها، می‌تواند میزان هر دو خطرپذیری آبگرفتگی و آلدگی را نسبت به روش‌های غیر بهینه‌سازی به میزان قابل توجهی بهبود دهد.

۴- نظر به انعطاف‌پذیری ساختار الگوریتم معرفی شده، می‌توان از این رویکرد در پژوهش‌های با اهداف متفاوت برای مدیریت جمع‌آوری و هدایت آب‌های سطحی شهری استفاده نمود.

## ۷- قدردانی

در آماده‌سازی مدل شبیه‌سازی این مطالعه موردی، از همکاری صمیمانه کارشناسان پژوهشکده محیط‌زیست دانشگاه امیرکبیر خصوصاً آقایان مهندس مجتبی عابدی و مهدی سرایی به صورت ویژه قدردانی می‌گردد.

## پی نوشت‌ها

- 1- Best Management Practices
- 2- Rain Garden
- 3- Rain Barrels
- 4- Storm Water Management Model
- 5- Geographic Information System
- 6- Decision Support System
- 7- Bio-retention
- 8- Wet Pond
- 9- Infiltration Trench
- 10- Porous Pavement
- 11- Sub-basins
- 12- Links
- 13- Junctions
- 14- Chromosome length
- 15- Intensity-Duration-Frequency (IDF)
- 16- Yen
- 17- Chow
- 18- Build-up
- 19- Wash-off

## ۸- مراجع

حفيظی م، پاشاخانلو ف (۱۳۸۵) ضریب آبگذری از داده‌های مقاومت ویژه الکترویکی در دشت تهران. مجله فیزیک زمین و فضا، شماره ۱۳-۱۴: ۲۱-۳۲.

- Rossman L.A (2010) Storm water management model. User's manual. version 5.0, United States Environmental Protection Agency.
- Shaver E, Horner R, Skupien J (2007) Fundamentals of urban runoff management: technical and institutional issues. North American Lake Management Society.
- Strecker E, Sheffield A, Cristina C, Leisenring M (2010) Stormwater BMP guidance tool. New Orleans.
- USEPA (2004) The use of best management practices (BMPs) in urban watersheds. EPA-600-R-04-184. Office of Research and Development, Washington, D.C. 20460.
- Young K, Dymond R, Kibler D (2011) Development of an Improved approach for selecting storm-water best management practices. Journal of Water Resources Planning and Management 137:268-275.
- climate change impacts. Journal of Water Resources Planning and Management 139:520-533.
- Lee k, Kim H, Pak G (2010) Cost-effectiveness analysis of stormwater best management practices (BMPs) in urban watersheds. Desalination and Water Treatment 19:92-96.
- NYDEC (2010) New York state stormwater management design manual. New York: Center for Watershed Protection.
- Oraei S, Saghaian B, Shamsai A (2012) Multi-objective optimization for combined quality-quantity urban runoff control. Hydrology and Earth System Sciences 16:4531-4542.
- Prodanovic P, P. Simonovic S (2004) Generation of synthetic design storms for the upper thames river basin. Water Resources Research Report no. 049, Facility for intelligent decision support, Department of Civil and Environmental Engineering, London, Ontario, Canada, 20 pages.